

$$\begin{bmatrix} \frac{1}{2} + K & -V \\ \frac{1}{2} - K & \frac{\mu_2}{\mu_1} V \end{bmatrix} \begin{bmatrix} \varphi_{1d} \\ \frac{\partial}{\partial n} \varphi_{1d} \end{bmatrix} = \begin{bmatrix} 0 \\ \frac{\mu_1 - \mu_2}{\mu_2} \frac{\partial \varphi_i}{\partial n} \end{bmatrix} \quad (1)$$

Resuelto en 439 iteraciones pero con una velocidad mucho más rápida que la ecuación (2).

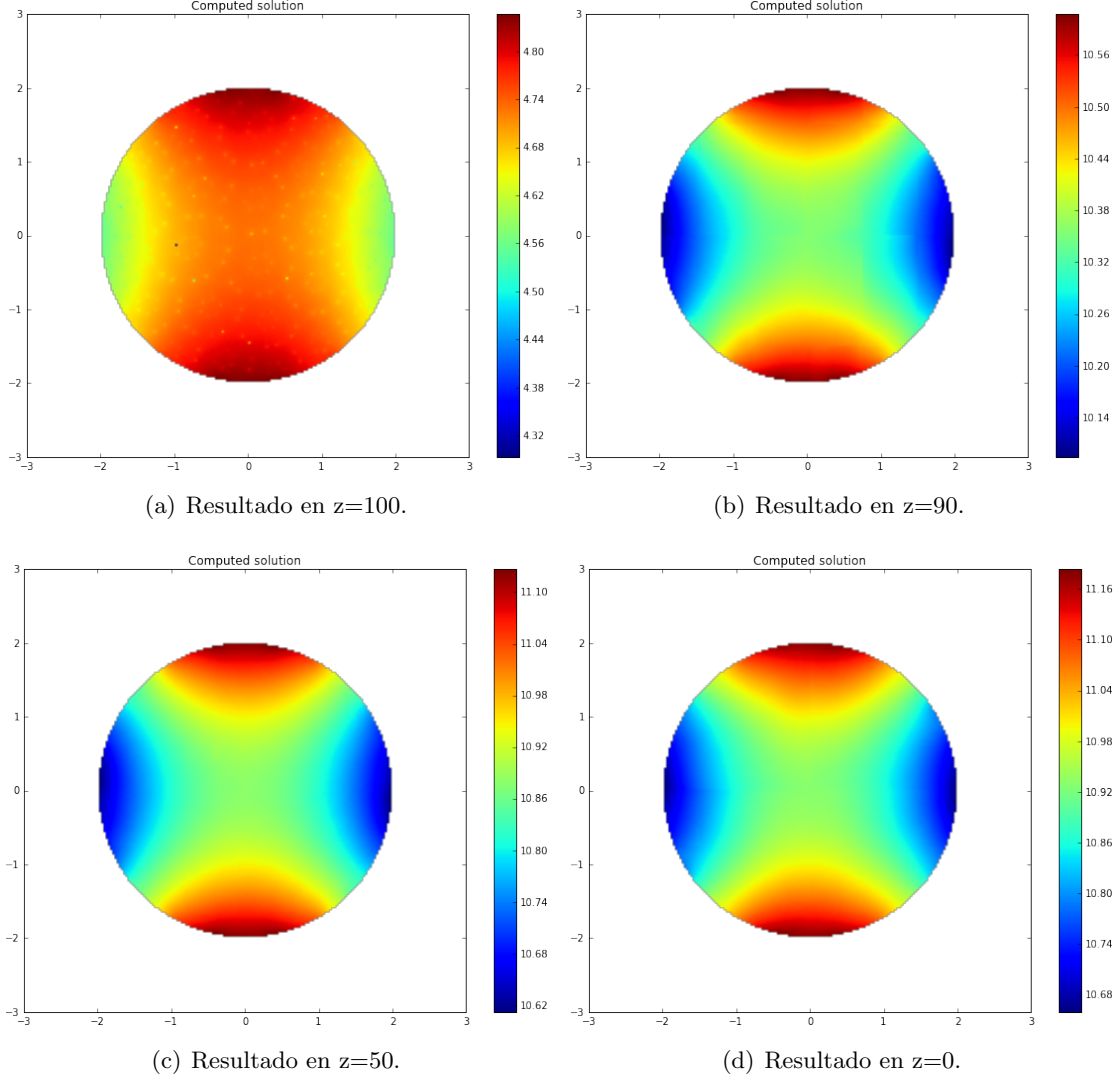
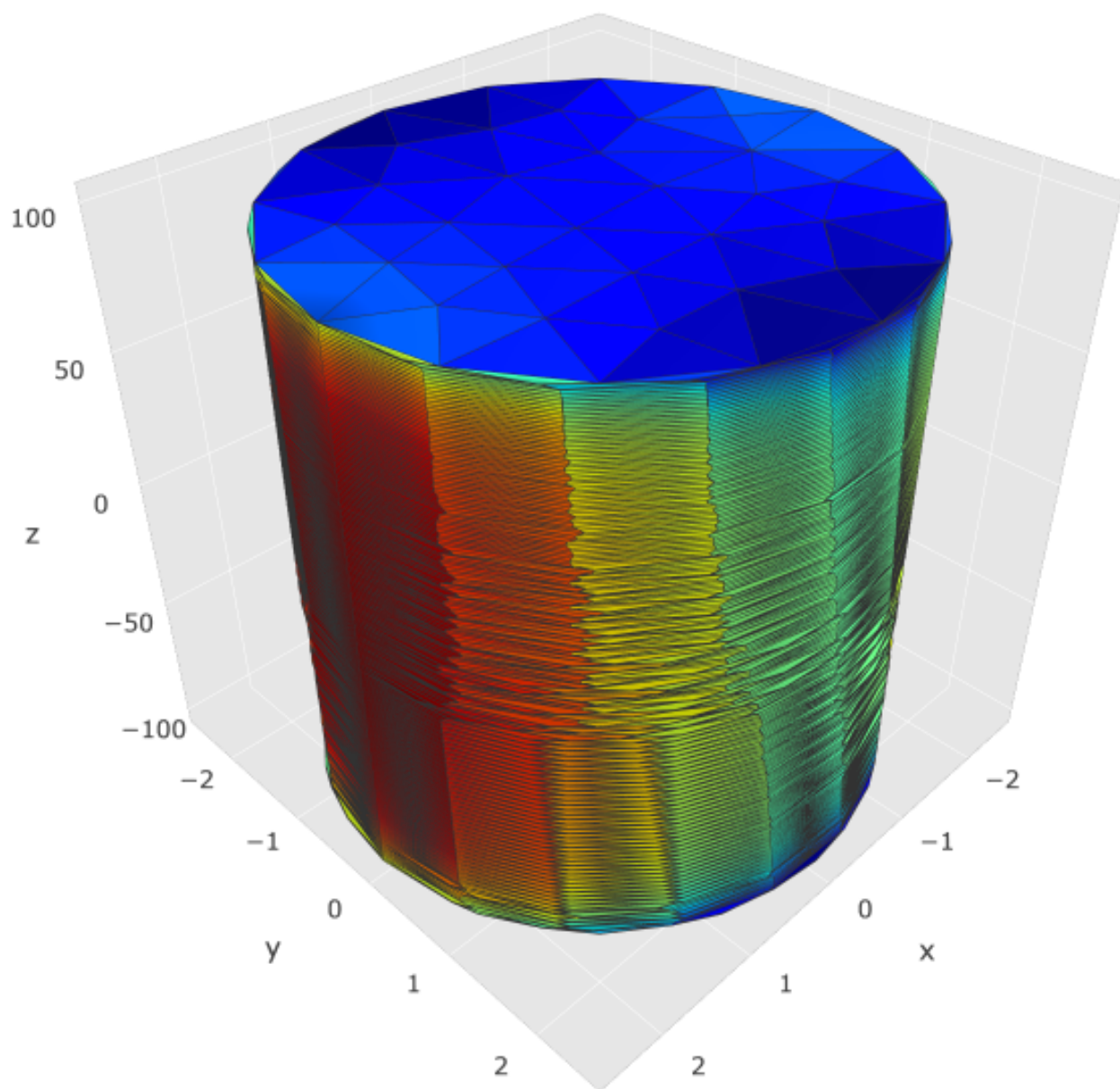
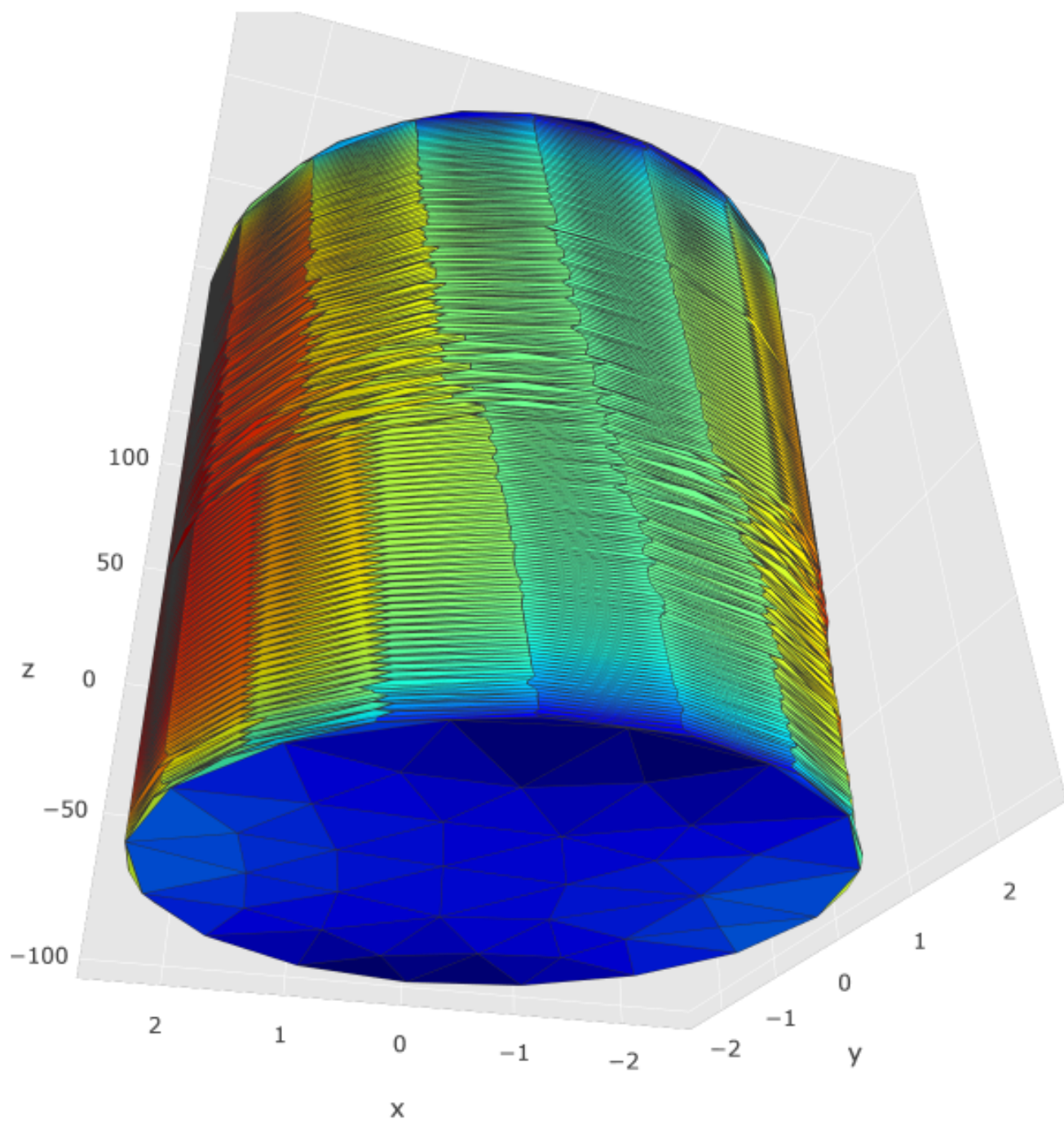


Figure 1: Resultados en distintas alturas $z=0$ de la ecuación (1).





$$\begin{bmatrix} -D_{ext} - D_{int} & \alpha S_{int} + S_{ext} \\ -D'_{ext} - D'_{int} & (\frac{\alpha-1}{2}) + \alpha S'_{int} + S'_{ext} \end{bmatrix} \begin{bmatrix} u^{ext} \\ \frac{\partial u^{ext}}{\partial n} \end{bmatrix} = \begin{bmatrix} u_{inc} \\ \frac{\partial u_{inc}}{\partial n} \end{bmatrix} \quad (2)$$

Resuelto en 215 iteraciones para las imagenes en 3D y en 117 para las imagenes en 'Figure 2' (se agrandaron los elementos de la malla, el kernell parecía fallar). Pero el tiempo en resolver estos sistemas era notoriamente mayor.

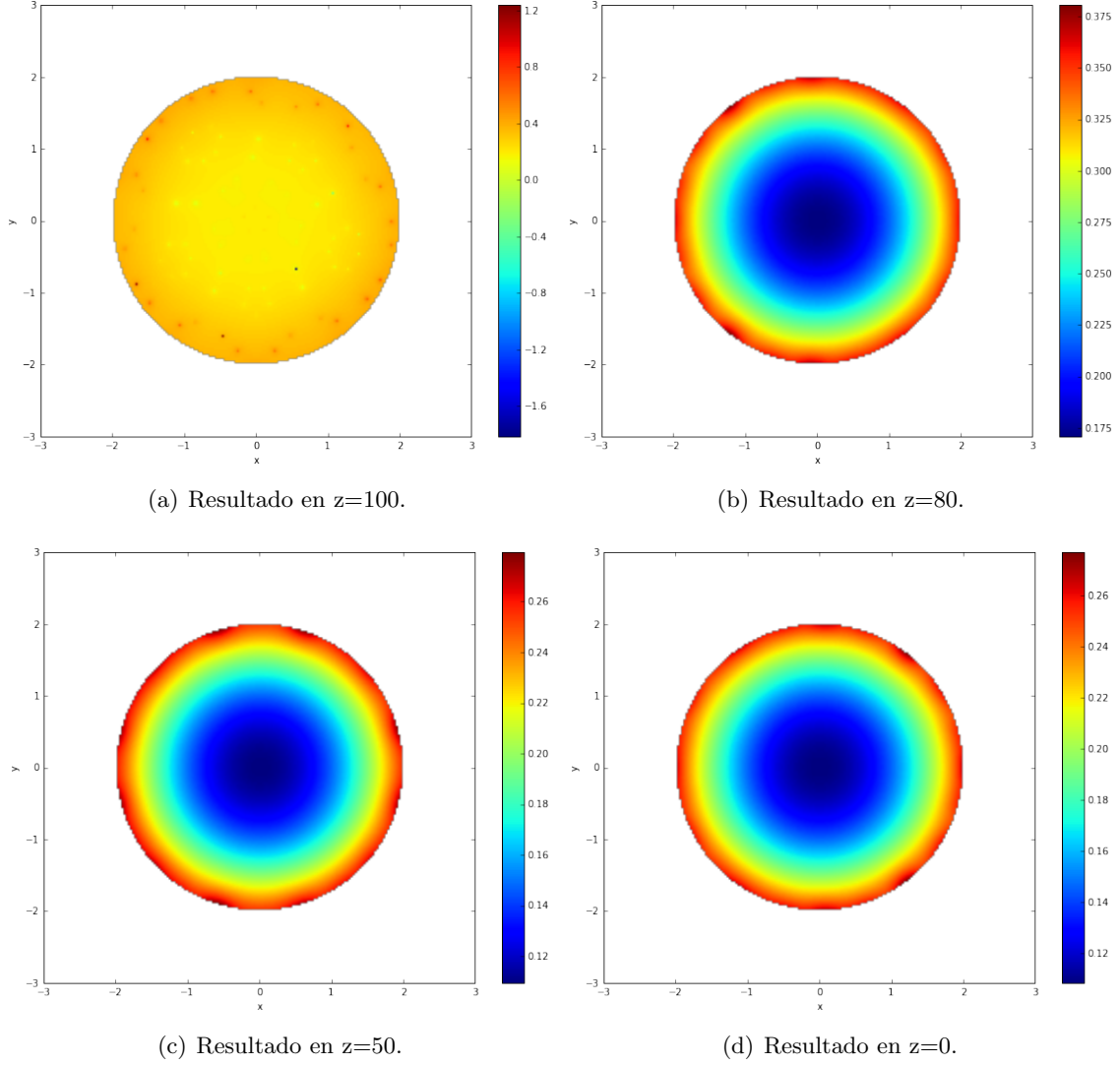


Figure 2: Resultados en distintas alturas $z=0$ de la ecuación (2).

